

Chapter2. 계통 연계형 3-레벨 인버터 PCS

아주대학교

전력 전자 연구실

목차

- 2.3 좌표 변환
- 2.4 행렬식을 이용한 좌표 변환
 - abc축 좌표계 변수의 정지 좌표계 d-q축 변수로의 변환
 - 정지 좌표계 변수의 회전 좌표계 변수로의 변환
- 2.5 3상 전압형 인버터의 전류 제어기 설계
 - 전류제어를 위한 d-q 동기 좌표계 R-L 부하의 모델링
 - 동기 좌표계 비례-적분 전류 제어기
 - 비례-적분 전류 제어기의 이득 선정

2.3 좌표 변환

■ 좌표 변환

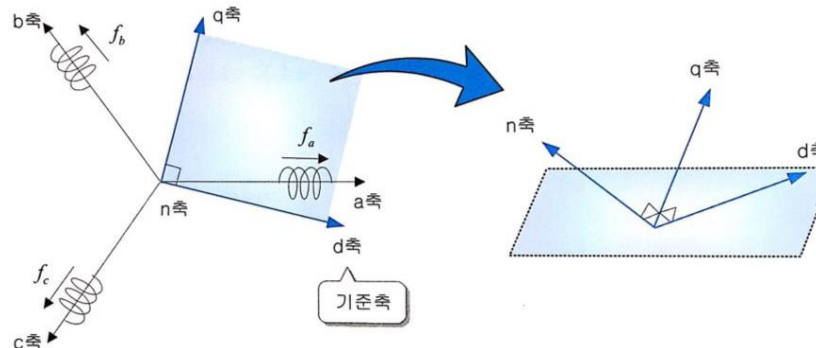
- 3상 교류 전동기의 a, b, c 상 변수들을 d, q, n축으로 이루어진 직교 좌표계상의 변수로 변환하는 것

- d축(Direct Axis, 직축)

- 통상 전동기의 자속이 발생하는 축
- 교류 전동기의 벡터 제어에서 기준이 되는 축

- q축(Quadrature Axis, 횡축)

- d축과 직각을 이루는 축
- 전동기의 물리량이 시간에 따라 정방향(시계 반대 방향)으로 회전할 때 d축에 비해 회전할 방향에 앞서서 위치함
- 벡터제어에서 토크를 발생하는 전류(또는 역기전력)의 축

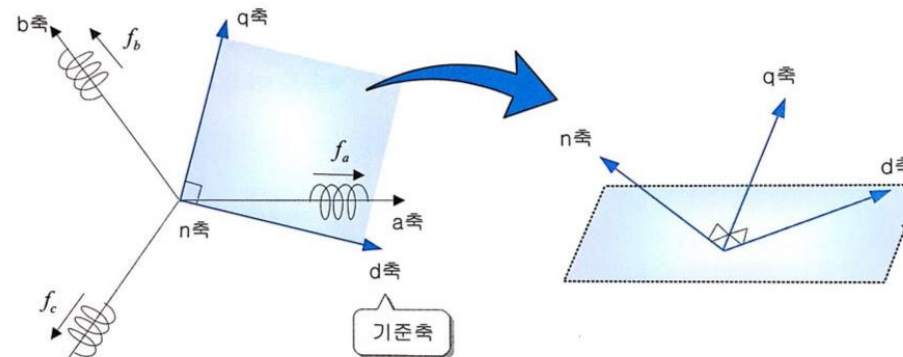


< abc축 좌표계와 d-q축 좌표계 >

2.3 좌표 변환

■ 좌표 변환

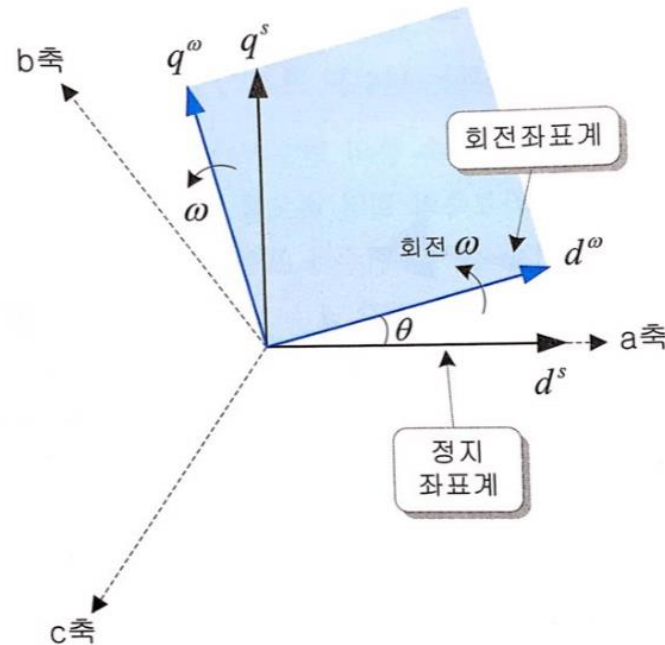
- 3상 교류 전동기의 a, b, c 상 변수들을 d, q, n 축으로 이루어진 직교 좌표계상의 변수로 변환하는 것
 - n 축(Neutral Axis, 중성축 또는 영상분 축)
 - d 와 q 축과 3차원 공간상에서 서로 직교하는 축
 - n 축 성분은 전동기에서 손실을 나타냄



< abc축 좌표계와 d-q축 좌표계 >

2.3 좌표 변환

- 직교 좌표계의 종류
 - d-q축의 직교 좌표계의 회전 여부에 따라 정지 좌표계와 회전 좌표계로 구분 함
 - 축의 회전 각속도는 임의로 선정이 가능함



< d-q축 정지 좌표계와 회전 좌표계 >

2.3 좌표 변환

■ 직교 좌표계의 종류

■ 정지 좌표계(=고정자 좌표계)

- 좌표축이 회전하지 않고 정지된 좌표계
- $d^s - q^s$ 축으로 표시함
- 일반적으로 d^s 축은 a상 권선의 자속 축과 일치시켜 사용함

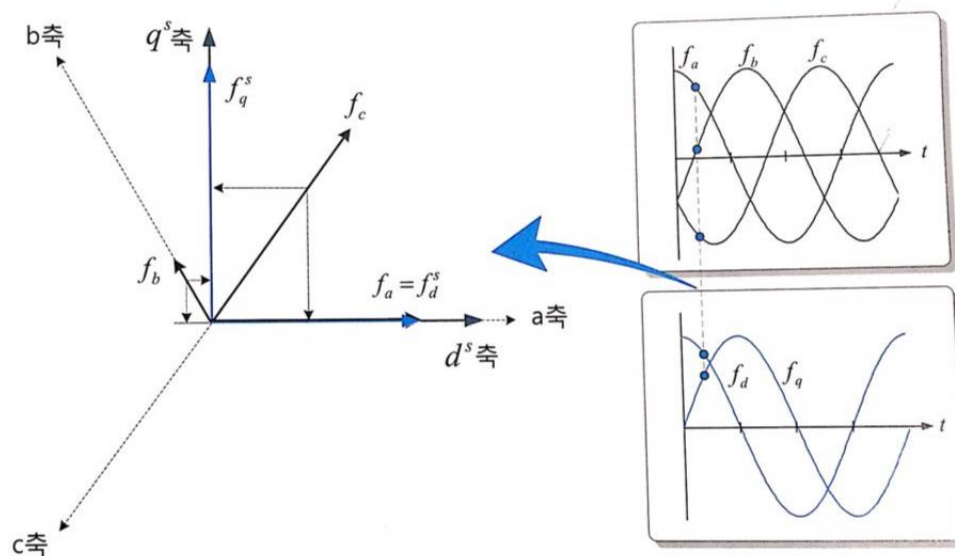
■ 회전 좌표계

- 좌표축이 어떤 각속도 ω 로 회전하는 좌표계
- $d^\omega - q^\omega$ 축으로 표시함
- 동기 좌표계 : 회전자계에 동기하여 회전하는 좌표계 $d^e - q^e$ 축으로 표시함
- 회전자 좌표계 : 회전자 속도에 동기하여 회전하는 좌표계, $d^r - q^r$ 축으로 표시함
- 정지 좌표계의 축과 ω 의 각속도로 회전하는 회전 좌표계의 축 사이의 각 θ 는 시간에 따라 변함

$$\theta = \int_0^t \omega(\tau) d\tau + \theta(0) \quad (\theta(0) \text{는 } t=0 \text{에서 초기각으로, 보통 } \theta(0)=0 \text{으로 설정함})$$

2.4 행렬식을 이용한 좌표 변환

- abc좌표계의 3상 변수를 정지된 직교 좌표계 d^s - q^s 축으로의 변환
 - d-q축으로의 좌표 변환이란 abc 좌표계의 변수들을 d-q축으로 투영하는 것
 - $f_d^s = k[f_a \cos(0) + f_b \cos(-\frac{2}{3}\pi) + f_c \cos(-\frac{4}{3}\pi)]$
 $f_q^s = k[f_a \sin(0) - f_b \sin(-\frac{2}{3}\pi) - f_c \sin(-\frac{4}{3}\pi)]$ (단, 변환 계수 k 에 따라 변환된 값의 크기를 조절할 수 있음)



< 3상 abc축 좌표계 변수의 정지 좌표계 d-q축 변수로의 변환 >

2.4 행렬식을 이용한 좌표 변환

- abc축 좌표계 변수의 정지 좌표계 d-q축 변수로의 변환

- Clark's Transformation

- abc축 좌표계의 3상 변수를 회전하지 않는($\omega=0$) 정지 좌표계의 d-q축 변수로의 변환

$$\text{■ } f_{dqns}^s = T(0) f_{abc} = \frac{2}{3} \begin{bmatrix} 1 & -\frac{1}{2} & -\frac{1}{2} \\ 0 & \frac{\sqrt{3}}{2} & -\frac{\sqrt{3}}{2} \\ \frac{1}{2} & \frac{1}{2} & \frac{1}{2} \end{bmatrix} \begin{bmatrix} f_a \\ f_b \\ f_c \end{bmatrix} \Rightarrow \begin{bmatrix} f_d^s = \frac{2f_a - f_b - f_c}{3} \\ f_q^s = \frac{1}{\sqrt{3}}(f_b - f_c) \\ f_n^s = \frac{f_a + f_b + f_c}{3} \end{bmatrix}$$

- 전동기의 3상 권선이 대칭이고, 중성점이 다른 회로에 연결되지 않은 경우

$$\text{■ } (f_a + f_b + f_c = 0) \Rightarrow \begin{pmatrix} f_d^s = f_a \\ f_n^s = 0 \end{pmatrix} \Rightarrow f_{dqns}^s = \begin{pmatrix} f_d^s = f_a \\ f_q^s = \frac{1}{\sqrt{3}}(f_b - f_c) \\ f_n^s = 0 \end{pmatrix}$$

2.4 행렬식을 이용한 좌표 변환

- abc축 좌표계 변수의 정지 좌표계 d-q축 변수로의 변환
 - 정지 좌표계의 d-q축 변수를 abc축 좌표계의 3상 변수로 변환하는 역변환 행렬 $T(\theta)^{-1}$ (영상분이 없는 경우)

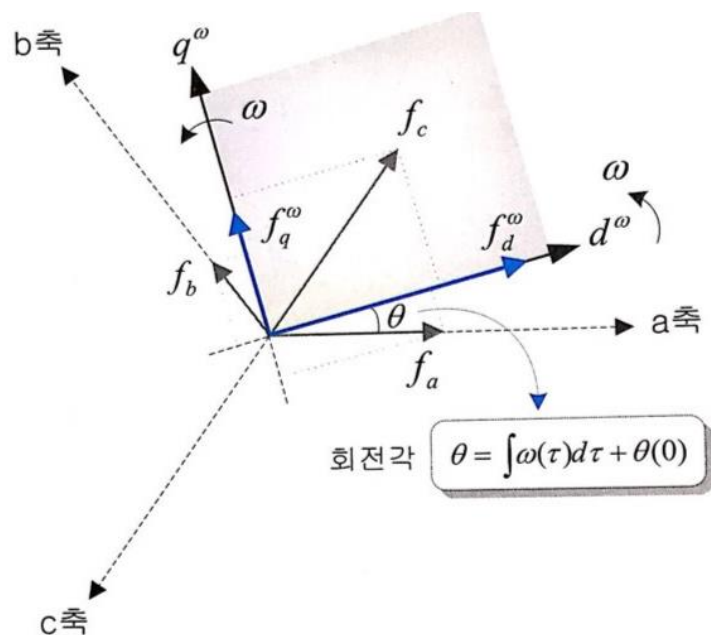
$$\blacksquare T(\theta)^{-1} = \begin{bmatrix} \cos(\theta) & -\sin(\theta) & \frac{1}{2} \\ \cos(\theta - \frac{2}{3}\pi) & -\sin(\theta - \frac{2}{3}\pi) & \frac{1}{2} \\ \cos(\theta - \frac{4}{3}\pi) & -\sin(\theta - \frac{4}{3}\pi) & \frac{1}{2} \end{bmatrix} \Rightarrow \begin{bmatrix} f_a = f_d^s \\ f_b = -\frac{1}{2}f_d^s + \frac{\sqrt{3}}{2}f_q^s \\ f_c = -\frac{1}{2}f_d^s - \frac{\sqrt{3}}{2}f_q^s \end{bmatrix}$$

2.4 행렬식을 이용한 좌표 변환

- abc좌표계의 3상 변수를 임의의 각속도 ω 로 회전하는 회전 좌표계의 d-q축으로 변환

- $f_{dq\omega}^\omega = T(\theta) f_{abc}$ ($f_{dq\omega}^\omega = [f_d^\omega f_q^\omega f_n^\omega]^T$, $f_{abc} = [f_a f_b f_c]^T$) ($[]^T$ 는 전치행렬)

- f : 임의의 전동기 변수로 전압, 전류 또는 쇄교 자속 등이 될 수 있음



< 3상 abc축 변수의 임의의 각속도 ω 로 회전하는 d-q축 변수로의 변환 >

2.4 행렬식을 이용한 좌표 변환

- abc좌표계의 3상 변수를 임의의 각속도 ω 로 회전하는 회전 좌표계의 d-q축으로 변환

$$\blacksquare T(\theta) = \frac{2}{3} \begin{bmatrix} \cos \theta & \cos(\theta - \frac{2}{3}\pi) & \cos(\theta - \frac{4}{3}\pi) \\ -\sin \theta & -\sin(\theta - \frac{2}{3}\pi) & -\sin(\theta - \frac{4}{3}\pi) \\ \frac{1}{2} & \frac{1}{2} & \frac{1}{2} \end{bmatrix} \quad (\theta = \text{좌표축의 회전각})$$

$$\blacksquare \theta = \int_0^t \omega(\tau) d\tau + \theta(0)$$

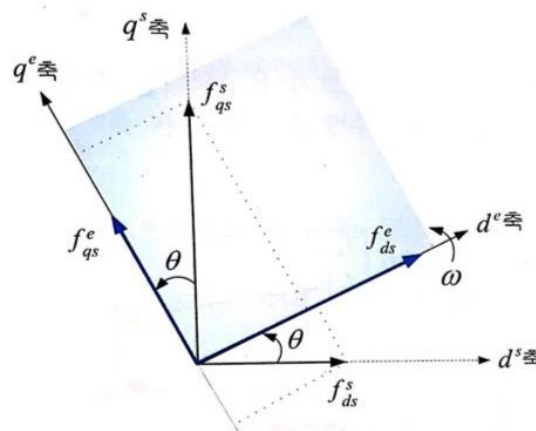
2.4 행렬식을 이용한 좌표 변환

- 정지 좌표계 변수의 회전 좌표계 변수로의 변환

- Park's Transformation

- abc축 좌표계의 변수를 각속도 ω 로 회전하는 회전 좌표계의 d^{ω} - q^{ω} 축 변수로의 변환

$$\mathbf{f}_{dqn}^e = R(\theta) \mathbf{f}_{dqn}^s = \begin{bmatrix} \cos \theta & \sin \theta & 0 \\ -\sin \theta & \cos \theta & 0 \\ 0 & 0 & 1 \end{bmatrix} \begin{bmatrix} f_d^s \\ f_q^s \\ f_n^s \end{bmatrix} \Rightarrow \begin{bmatrix} f_d^e = f_d^s \cos \theta + f_q^s \sin \theta \\ f_q^e = -f_d^s \sin \theta + f_q^s \cos \theta \\ f_n^e = f_n^s \end{bmatrix}$$



(a) 회전 좌표계로의 변환

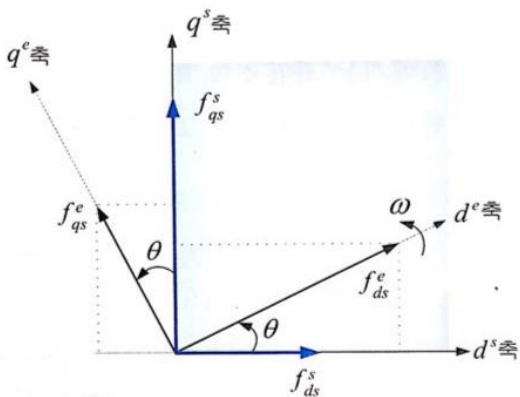
< 정지 좌표계와 회전 좌표계 간의 d-q축 변수 변환 >

2.4 행렬식을 이용한 좌표 변환

- 정지 좌표계 변수의 회전 좌표계 변수로의 변환
 - 회전 좌표계 변수의 정지 좌표계 d-q축 변수로의 역변환

$$f_d^s = f_d^e \cos \theta - f_q^e \sin \theta$$

$$f_q^s = f_d^e \sin \theta + f_q^e \cos \theta$$



(b) 정지 좌표계로의 역변환

< 정지 좌표계와 회전 좌표계 간의 d-q축 변수 변환 >

2.5 3상 전압형 인버터의 전류 제어기 설계

- 전류제어를 위한 d-q 동기 좌표계 R-L 부하의 모델링
 - 대칭 3상 R-L 부하
 - 3상의 전압

$$v_{as} = R_s i_{as} + L_s \frac{di_{as}}{dt}$$

$$v_{bs} = R_s i_{bs} + L_s \frac{di_{bs}}{dt}$$

$$v_{cs} = R_s i_{cs} + L_s \frac{di_{cs}}{dt}$$

- d-q좌표계로 변환

$$v_{ds}^s = R_s i_{ds}^s + L_s \frac{di_{ds}^s}{dt}$$

$$v_{qs}^s = R_s i_{qs}^s + L_s \frac{di_{qs}^s}{dt}$$

- 복소 벡터로 변환

$$i_{dps} = i_{ds} + j i_{qs}$$

2.5 3상 전압형 인버터의 전류 제어기 설계

- 전류제어를 위한 d-q 동기 좌표계 R-L 부하의 모델링
 - 대칭 3상 R-L 부하
 - 3상 R-L 부하를 복소 벡터를 활용하여 표현

$$v_{dqs}^s = R_s i_{dqs}^s + L_s \frac{di_{dqs}^s}{dt}$$

- 전동기 구동 인버터의 경우 전동기의 자속 방향을 d축으로, 계통 연계형 인버터의 경우 계통의 전압을 d축 혹은 q축으로 설정
 - 본 장에서의 경우 임의의 주파수로 회전하는 동기좌표계를 사용

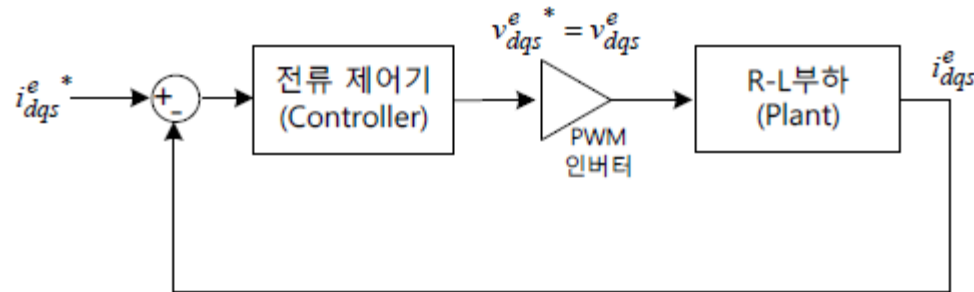
- d-q 동기 좌표계 상의 대칭 3상 R-L 부하

$$v_{ds}^e = R_s i_{ds}^e - \omega_e L_s i_{qs}^e + L_s \frac{di_{ds}^e}{dt}$$

$$v_{qs}^e = R_s i_{qs}^e + \omega_e L_s i_{ds}^e + L_s \frac{di_{qs}^e}{dt}$$

2.5 3상 전압형 인버터의 전류 제어기 설계

- 동기 좌표계 비례-적분 전류 제어기
 - 구조



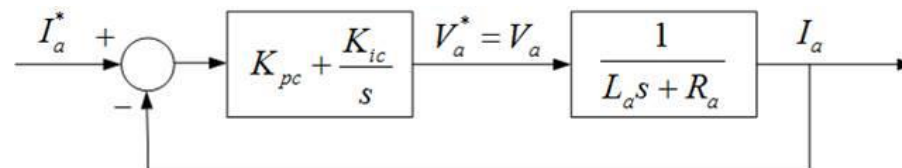
< 일반적인 전류 제어 시스템 >

- 부하의 전달 함수를 구한 후에 전류 제어기를 구성
- 제어 대상인 R-L 부하는 PWM인버터의 출력 전압을 입력으로 하며 전류를 출력함
- 전압에 대한 전류의 전달 함수

$$P_{(plant)} = \frac{i_{dqs}^e}{v_{dqs}^e} = \frac{1}{R_s + j\omega_e L_s + sL_s}$$

2.5 3상 전압형 인버터의 전류 제어기 설계

- 비례-적분 전류 제어기의 이득 선정
 - 제어기 이득 산출 과정



< 일반적인 비례-적분 전류 제어기의 구성 >

- 좌표 변환을 통해 얻어진 회전 좌표계의 전류는 각각의 지령과의 오차를 계산하여 비례 적분 제어기를 통하여 전압 지령을 생성
- 비례 적분 제어기를 포함한 전류 제어 시스템에서 전류 오차와 출력 전압과의 관계

$$V_a = K_{pc} \left(1 + \frac{1}{T_c s} \right) (I_a^* - I_a)$$

- 비례 적분 전류 제어 시스템의 개루프 특성을 살펴보기 위해 개루프 전달 함수를 구해보면

$$\begin{aligned} G_c^o(s) &= K_{pc} \left(\frac{s + 1/T_c}{s} \right) \frac{1}{L_a s + R_a} \\ &= K_{pc} \frac{s + K_{ic}/K_{pc}}{s} \frac{1/L_a}{s + R_a/L_a} \end{aligned}$$

2.5 3상 전압형 인버터의 전류 제어기 설계

- 비례-적분 전류 제어기의 이득 선정

- 제어기 이득 산출 과정

- 비례 적분 제어기의 영점이 시스템의 극점을 상쇄하도록 설계 할 때의 개루프 함수식

$$G_c^o(s) = \frac{1}{\frac{L_a}{K_{pc}} s}$$

- 영점($-k_{ic}/k_{pc}$)이 시스템의 극점 ($-R_a/L_a$)을 상쇄하도록 설계하면 비례 적분 제어기의 절점 주파수는 $1/T_c=R_a/L_a$ 로 설정 할 수 있음
 - 이러한 Pole-Zero Cancellation 기법을 통하여 전동기 자체의 특성을 제거하고 제어기 이득으로만 전류 제어기의 특성이 결정되도록 할 수 있음

2.5 3상 전압형 인버터의 전류 제어기 설계

- 비례-적분 전류 제어기의 이득 선정

- 제어기 이득 산출 과정

- 교차각 주파수

- 이득이 '0[dB] or 1' 을 통과하는 주파수인 교차각 주파수는
 - 이 주파수 응답의 교차각 주파수는 페루프 주파수 응답의 차단 주파수와 동일
 - 전류 제어기의 주파수 대역폭이 됨

$$\left| G_c^o(j\omega_{cc}) \right| = \left| \frac{1}{\frac{L_a}{K_{pc}} j\omega_{cc}} \right| = 1$$

$$\omega_{cc} = \frac{K_{pc}}{L_a}$$

- 피드백 루프가 있는 비례 적분 전류 제어 시스템의 페루프 전달 함수

$$\frac{I(s)}{I^*(s)} = G_c^c(s) = \frac{G_c^o(s)}{1 + G_c^o(s)} = \frac{1}{\frac{L_a}{K_{pc}}s + 1} = \frac{\omega_{cc}}{s + \omega_{cc}}$$

- 비례 적분 제어기의 영점이 극점과 상쇄되도록 설계하면 전류 제어기는 직류 이득이 1 이며 안정하면서도 빠른 응답 특성을 가지는 1차 지연 요소가 됨
- 단, 응답은 $T_c = 1/\omega_{cc}$ 만큼의 지연을 가지지만 대역폭을 크게 하면 지연을 줄일 수 있음

2.5 3상 전압형 인버터의 전류 제어기 설계

- 비례-적분 전류 제어기의 이득 선정

- 제어기 이득 산출 과정

- 차단 주파수

- 전달 함수의 이득이 직류 이득 크기의 -3[dB]이 되는 주파수
 - 크기

$$\left| G_c(j\omega) \right| = \left| \frac{\omega_{cc}}{j\omega + \omega_{cc}} \right| = \frac{1}{\sqrt{2}}$$

$$\omega = \omega_{cc}$$

- 이는 개루프 주파수 응답의 교차각 주파수와 같음

- 이득

- 비례 이득 $K_{pc} = L_a \omega_{cc}$

- 적분 이득 $K_{ic} = R_a \omega_{cc}$

2.5 3상 전압형 인버터의 전류 제어기 설계

- 비례-적분 전류 제어기의 이득 선정
 - 제어기 대역폭
 - 전류 제어기의 대역폭은 전력 변환 장치의 스위칭 주파수와 제어 주기에 의해 제한을 받음
 - 대역폭을 크게 하면 전류 제어기의 속응성을 좋게하나 전류 센서 신호의 잡음에 대하여 민감하게 되어 시스템이 불안정하게 됨
 - 전류 제어기 이득 중 비례 이득의 크기는 응답 시간과 지연 시간을 결정하므로 커질수록 응답이 빠르게 되고 적분 이득은 정상 상태 오차를 감소시키는 속도를 결정
 - 응답 특성이 진동하여 시스템이 불안정해질 수 있으므로 적절한 값 선정이 필요